

بهبود کنترل و پایداری کواد کپتر با روش فازی

محمدصادق دیدگاه ۱ و محمد مردانی ۲

۱ دانشجوی کارشناسی ارشد گروه برق، دانشکاه شهاب قم (غیرانتفاعی)

۲ استادیار، گروه برق، دانشکاه شهاب قم (غیرانتفاعی)

چکیده

هر وسیله پرنده باید در طول پرواز و در کلیه حالات پروازی قابل کنترل، پایدار و متعادل باشد. این سه الزام پیش شرط‌های یک پرنده ایمن هستند. از سویی دیگر، موضوع پایداری و کنترل با عکس‌العمل پرنده در مقابل اغتشاشات داخلی و خارجی سر و کار دارد. اغتشاشات داخلی شامل چرخش سطوح کنترل، تغییر محل مرکز ثقل و تغییر پیکربندی پرنده می‌باشد. این اغتشاشات یا توسط خلبان (اپراتور) و یا توسط سامانه کنترل خودکار پرنده تولید می‌شوند. اغتشاشات خارجی توسط محیط ایجاد شده و شامل مواردی از قبیل باد و جریان‌های حرارتی می‌شود. در این مقاله، از یک مدل پویا غیرخطی از یک نوع هواپیمای بدون سرنشین Quadrotor با استفاده از فرمالیتم نیوتن-اویلر، که به‌طور گسترده در گذشته مورد استفاده قرار گرفته است، استفاده شده است. تمام نیروها و لحظات آئرو دینامیکی UAV Quadrotor مورد مطالعه در یک قاب استوانه‌ای مورد بررسی قرار گرفته‌اند. سپس یک مدل دینامیک پایه‌ای برای طراحی یک کنترل کننده LQG به همراه یک سیستم فازی برای تثبیت ارتفاع rotorcraft استفاده شده است. طراحی پارامترهای رویکرد کنترل LQG با ضرایب فازی پیشنهادی، یعنی ماتریس وزن R و Q فازی به اثربخشی چندین فرآیند خطا انجام می‌شود. در نهایت، نتایج شبیه‌سازی در محیط MATLAB / Simulink به دست می‌آید تا اثربخشی رویکرد تثبیت نسبی پیشنهاد شده را نشان دهد.

واژگان کلیدی: بهبود کنترل، پایداری کواد کپتر، روش فازی

مقدمه

مدل اولیه آزمایشی یک Multirotor در سال ۱۹۰۷ توسط دو برادر فرانسوی بنام Jacques and Louis Breguet در پروژه‌های بنام Quadcopter ساخته و تست شد، هرچند آن‌ها نتوانستند پرنده خود را در آسمان نگه‌دارند ولی موفق به پرواز ثابت شدند. بعد از آن ساخت بالگرد چهار پروانه‌ای به سال ۱۹۲۰ میلادی برمی‌گردد. در سال ۱۹۲۰ یک مهندس فرانسوی بنام etienne oehmichen اولین بالگرد چهارپره که از روش تنظیم X بهره می‌جست را اختراع نمود و مسافت ۳۶۰ متر را با کواد کوپتر خود پرواز کرد و سپس در همان سال او مسافت یک کیلومتر را در مدت هفت دقیقه و چهل ثانیه پرواز کرد.

در حدود سال ۱۹۲۲ در آمریکا Dr George de Btheza موفق به ساخت و تست تعدادی Quadcopter برای ارتش شد که قابلیت کنترل و حرکت در سه بعد را دارا بود، ولی پرواز با آن بسیار سخت بود. در سال ۱۹۵۶ مدل دیگری توسط Convertewings طراحی شد و در سال ۱۹۵۸ مدل Curtis-Wright VZ-7 توسط کمپانی Curtis-Wright طراحی شد. در سال‌های اخیر توجه مراکز دانشگاهی به طراحی و ساخت پهپادهای چهارپره جلب شده است و مدل‌های مختلفی در دانشگاه استانفورد و کورنل ساخته شده است و به تدریج رواج یافته است. از حدود سال ۲۰۰۶ کواد کوپترها شروع به رشد صنعتی به صورت وسایل پرنده بدون سرنشین نمودند. امروزه مالتی روتورها به ویژه مدل‌های چهارپره که به کواد کوپتر شهرت دارند یکی از پرکاربردترین وسایل پرنده بدون سرنشین می‌باشند؛ که به عنوان مثال می‌توان به کاربردهای گسترده تصویربرداری هوایی، نقشه‌برداری، جاسوسی، تفریحی و ... اشاره نمود. با گسترده‌تر شدن روزافزون جلوه‌های بصری در تبلیغات و فیلم‌های سینمایی و تلویزیونی، استفاده از وسایل پرنده و تصویربرداری هوایی بیش از پیش مورد توجه قرار گرفته است. برخی از پژوهش‌های دیگر که در این زمینه صورت گرفته است به شرح زیر می‌باشد: در سال ۲۰۰۹ مارکوس^۱ و همکاران [3] در مقاله خود یک سیستم کامل کنترلی طراحی کردند که در آن حرکت یک کواد کوپتر به طور پایدار بر اساس بازخورد بصری و اندازه‌گیری سنسورهای اینرسی انجام میشد که سپس برای کنترل بهتر از سیستم تصویری یا نمایشی استفاده کردند. در سال ۲۰۱۲ این کیو^۲ و همکاران [4] به طراحی یک سیستم کنترلی اوپن سورس پرداختند آن‌ها در نظر داشتند که در این طراحی یک سیستم پویا و ارزان قیمت ارائه دهند تا در تمام شرایط و سرعت‌های حرکتی مختلف کواد کوپتر کنترل شود و همچنین این سیستم را بروی دستگاه‌های دیگر تست کردند و نتیجه موفقیت‌آمیز از آن گرفتند. در سال ۲۰۱۲ مهدی فتان^۳ و همکاران [5] در مقاله خود تلاش کردند تا یک کنترل کننده PID سازگار را شناسایی کنند که بتواند به صورت انطباقی ضرایب مناسب را برای کنترل ارتفاع کواد کوپتر دریافت کند. ساختار این کنترل کننده PID شبیه به نوروون مصنوعی است که در بسیاری از شبکه‌های عصبی مصنوعی استفاده می‌شود. کنترل ارتفاع ربات توسط این کنترل کننده در یک مسیر سینوسی نشان داده شده است و همچنین از بین بردن اختلال ناگهانی توسط کنترل کننده PID تطبیقی عصبی نیز مورد بررسی قرار گرفت. در سال ۲۰۱۳ لوکاس^۴ و همکاران [6] در مقاله خود باهدف ارائه یک مقایسه بین کنترلرهای مختلف در یک مدل پویا از یک نمونه پلت فرم کواد کوپتر استفاده کردند. از جمله کنترل کننده‌هایی که در این تحقیق مورد استفاده قرار گرفت میتوان به موارد این موارد اشاره کرد. یک PID تنظیم شده ITAE، یک کنترل کننده LQR کلاسیک و یک PID تنظیم شده با یک حلقه LQR در سال ۲۰۱۵ جاوید^۵ و همکاران [8] در مقاله خود یک استراتژی

¹ Markus Achtelik

² Inkyu Sa

³ Mehdi Fatan

⁴ Lucas

⁵ Jawad Khan

کنترل جدید برای کنترل Quadcopter با استفاده از سیگنال های مغز پیشنهاد دادند. فن آوری مغز و کامپیوتر (BCI) با استفاده از الکتروانسفالوگرافی هیبرید - طیفسنجی نزدیک به مادون قرمز (EEG-NIRS) و دو دستور برای استفاده جهت کنترل quadcopter استفاده کردند. نتایج نشان می دهد که طرح پیشنهاد شده برای برنامه های کنترل BCI مناسب است. در سال ۲۰۱۷ ساسونگ کیم^۶ و همکاران [24] یک سیستم ترکیبی برای کنترل یک کواد کپتر بدون سرنشین ارائه دادند که کنترل پیشنهادی با آزمایش های پرواز با استفاده از چند روتور با بازوی چهارگانه DOF استفاده شده است. نتایج به دست آمده نشان می دهد عملکرد ردیابی برتر ساختار پیشنهادی در مقایسه با کنترل پشت سر و بدون DOB است. در سال ۲۰۱۸ اندری^۷ و همکاران [22] در مقاله خود از یک سیستم فازی مرتبه دو استفاده کردند و در مقایسه با سیستم فازی مرتبه یک نوع گوسی توانستند نشان دهند که می توان با تغییر در پارامترهای فازی نوع دوم پایداری بهتری برای کوادکپتر متصور شد و همچنین مشخص نمودند که کواد کپتر های با فازی نوع دوم عملکرد یکسان تری دارند و در شرایط غیر پیش بینی شده دارای پاسخ بهتری است

۲- معادلات حاکم

۱-۲ مدل سازی پهپاد کوادکپتر

۱-۲-۱ شرح سیستم و نیروهای آیرودینامیکی

کوادکپتر یک نوع پهپاد با چهار روتور است که به طور مستقل کنترل می شوند. حرکت کوادکپتر منجر به تغییر در سرعت روتور می شود. ساختار کوادکپتر در این مقاله متقارن فرض شده است و مرکز گرانش در کواد کپتر ثابت بوده است. سرعت چرخشی پروانه ها پایدار و نیروهای درگ آن ها به مربع سرعت پروانه ها وابسته است. روتور کوادکپتر مورد مطالعه با قاب های بدنه در شکل ۱ نشان داده شده است

پارتیشن های زیر را در مختصات انتقالی و چرخش ارائه شده است:

$$\xi = (x, y, z) \in \mathbb{R}^3, \quad \eta = (\phi, \theta, \psi) \in \mathbb{R}^3 \quad (1)$$

در معادله بالا $\xi = (x, y, z)$ موقعیت بردار مرکزی و جرم کوادکپتر در قاب ثابت در نظر گرفته شده است. $\eta = (\phi, \theta, \psi)$ حرکت کوادکپتر را نشان داده شده که توسط زاویه اولبر (ϕ, θ, ψ) می باشد.

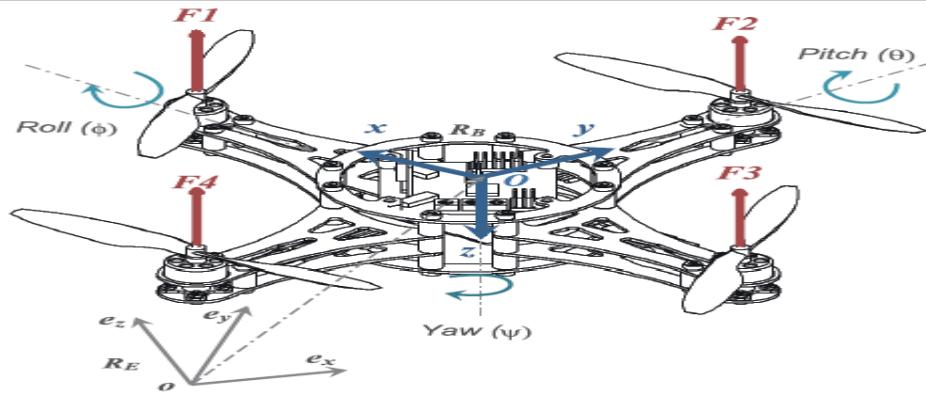
میدانیم که ϕ زاویه رول در محور X و θ زاویه زمین در محور Y و ψ زاویه پیچشی در اطراف محور Z هستند. تمام این زاویه ها به صورت زیر محدود شده اند:

$$-\frac{\pi}{2} < \phi < \frac{\pi}{2} \quad (2)$$

$$-\frac{\pi}{2} < \theta < \frac{\pi}{2} \quad (3)$$

$$-\pi < \psi < \pi \quad (4)$$

هر موتور $M_i (i=1,2,3,4)$ از کوادکپتر نیروی F_i تولید می کند که متناسب با مربع سرعت زاویه ای است. حرکت هر موتور در جهتی ثابت است، نیروی تولید شده F_i همیشه مثبت است. موتورهای جلو و عقب (M_1 و M_3) پادساعتگرد چرخانده می شوند، در حالی که موتورهای چپ و راست (M_2 و M_4) و به صورت ساعت چرخ هستند.



شکل ۱- کواد کوپتر مورد بررسی

همانطور که در [۳]، [۱۲] نشان داده شده است، اثرات ژيروسکوپی و گشتاورهای آیرودینامیکی به دلیل طراحی مکانیکی کوادکوپتر تمایل به لغو در پرواز کاهش یافته است. برآیند کل F برابر مجموع مسیرهای فردی هر موتور است. بگذارید با توجه به m مجموع جرم کوادکوپتر و g شتاب گرانش. جهت گیری کوادکوپتر توسط ماتریس چرخش $R : R_E \rightarrow R_B$ که به سه زوایای اوپلر (ϕ, θ, ψ) بستگی دارد و معادله زیر را تعریف می کند:

$$R(\phi, \theta, \psi) = \begin{bmatrix} C\psi C\theta & S\phi S\theta C\psi - S\psi C\theta & C\phi S\theta C\psi + S\psi S\phi \\ S\psi C\theta & S\phi S\theta C\psi + C\psi C\theta & C\phi S\theta S\psi - S\psi C\theta \\ -S\theta & S\phi C\theta & C\phi C\theta \end{bmatrix} \quad (5)$$

Where $c(\cdot) = \cos(\cdot)$ and $s(\cdot) = \sin(\cdot)$.

در طول پرواز کوادکوپتر به نیروهای خارجی مانند ضربه های باد، گرانش، اصطکاک و دیگر نیروها که خود تولید می شوند مانند نیروی محرک و کشیدن وابسته است. علاوه بر این، گشتاورهای خارجی به طور عمده توسط رانش روتور و کشیدن بر روی بدنه و پروانه بوجود می آیند. موانع ایجاد شده توسط اثرات ژيروسکوپی موتور نیز ذکر شده است. نیروی محرک تولید شده توسط روتور i ام از کوادکوپتر در زیر ارائه شده است [۵]، [۱۳]:

$$F_i = \frac{1}{2} \rho \Lambda C_T r^2 \omega_i^2 = b \omega_i^2 \quad (6)$$

که در آن ρ چگالی هوا، r و Λ به ترتیب شعاع و بخش از پروانه است، CT ضریب رانش آیرودینامیکی است. گشتاور کشیدن آیرودینامیک، ناشی از نیروی کششی در پروانه ی روتور i است و با گشتاور موتورهای دیگر مخالف است که به شرح زیر تعریف می شود:

$$\delta_i = \frac{1}{2} \rho \Lambda C_D r^2 \omega_i^2 = d \omega_i^2 \quad (7)$$

که در فرمول بالا CD ضریب درگ آیرودینامیک است.

مجموع تمام گشتاورهای تولیدشده توسط چهار روتور کوادکپتر که شتاب های تولید شده می باشند به ترتیب به شرح زیر تعریف می شوند: [۱۵]، [۳]:

$$\tau_{\theta} = I(F_3 - F_1) \quad (۸)$$

$$\tau_{\phi} = I(F_4 - F_2) \quad (۹)$$

$$\tau_{\psi} = C(F_1 - F_2 + F_3 - F_4) \quad (۱۰)$$

جایی که C یک ضریب تناسب ثابت است و a از فاصله تا مرکز هر روتور تا مرکز ثقل مشخص می شود. دو گشتاور اثر ژيروسکوپی، به دلیل حرکت پروانه ها و بدنه کوادکپتر، به صورت افزایشی ارائه می شوند. این لحظات به ترتیب در زیر نشان داده شده است [۱۳]، [۱۰]:

$$M_{gp} = \sum_{i=1}^4 \Omega \wedge [O, O, J_r (-1)^{i+1} \omega_i]^T \quad (۱۱)$$

$$M_{gb} = \Omega \wedge J \Omega \quad (۱۲)$$

در فرمول بالا O بردار سرعت زاویه ای در قاب است. کوادکپتر با تغییر مستقل سرعت هر روتور چهارگانه کنترل می شود. از این رو، این ورودی های کنترل به شرح زیر تعریف می شوند:

$$\begin{bmatrix} u_1 \\ u_2 \\ u_3 \\ u_4 \end{bmatrix} = \begin{bmatrix} F \\ \tau_{\phi} \\ \tau_{\theta} \\ \tau_{\psi} \end{bmatrix} = \begin{bmatrix} b & b & b & b \\ o & -ib & o & ib \\ -ib & o & ib & o \\ d & -d & d & -d \end{bmatrix} \begin{bmatrix} \omega_1^2 \\ \omega_2^2 \\ \omega_3^2 \\ \omega_4^2 \end{bmatrix} \quad (۱۳)$$

که در آن $b > 0$ and $d > 0$ دو پارامتر بسته به تراکم هوا متغییر هستند، هندسه و نیرو درگ و ضریب درگ پروانه به صورت داده شده در معادله است. (۶) و معادله (۷)، و $W_{1,2,3,4}$ سرعت زاویه ای چهار روتور می باشد. از معادله (۱۳) می توان مشاهده کرد که ورودی u_1 نیروی محرک کل را در محور Z محور چهارگانه نشان می دهد، ورودی ها u_2 و u_3 به ترتیب گشتاور رول و محور را نشان می دهند. و u_4 نشانگر گشتاور چرخش می باشد. ب. مدل سازی نیوتن-اویلر

با استفاده از روش نیوتن-اویلر برای مدل سازی، قوانین نیوتن منجر به معادلات حرکت کوادکپتر می شود. [۱۵]، [۶]، [۳]، [۱۳]:

$$\begin{cases} m \xi = F_{th} + F_d + F_g \\ J \Omega = M - M_{gp} - M_{gb} - M_a \end{cases} \quad (۱۴)$$

که در فرمول بالا

$$F_{th} = R(\phi, \theta, \psi) \left[o, o, \sum_{i=1}^4 F_i \right]^T$$

نشان دهنده نیروی محرک کل چهار روتور

$$F_d = \text{diag}(k_1, k_2, k_3) \xi^T$$

نیروی کشش هوا است که مقاومت در برابر حرکت

$$F_g = [0, 0, mg]^T$$

کواد کپتر

$$M = [\tau_\phi, \tau_\theta, \tau_\psi]^T$$

نیروی جاذبه

$$M_a = \text{diag}(k_4, k_5, k_6) [\phi^2, \theta^2, \psi^2]^T$$

گشتاور کل
گشتاور ناشی از اصطکاک آیرودینامیکی

جای گذاری بردار موقعیت و بیان نیروها در معادله (۱۴)، دینامیک حرکت کواد کپتر به صورت زیر ارائه می شود. [۱۲]، [۱۰]، [۵]:

$$\left\{ \begin{array}{l} \ddot{x} = \frac{1}{m}(c\phi c\psi s\theta + s\phi s\psi)u_1 - \frac{k_1}{m}\dot{x} \\ \ddot{y} = \frac{1}{m}(c\phi s\psi s\theta - s\phi c\psi)u_1 - \frac{k_2}{m}\dot{y} \\ \ddot{z} = \frac{1}{m}c\phi c\theta u_1 - g - \frac{k_3}{m}\dot{z} \end{array} \right. \quad (15)$$

از قسمت دوم معادله (۱۴) با جایگذاری می توان دینامیک چرخشی رتورها را به صورت زیر نوشت:

$$\left\{ \begin{array}{l} \ddot{\phi} = \frac{(I_y - I_z)}{I_x}\dot{\theta}\dot{\psi} - \frac{J_r}{I_x}\bar{\Omega}_R\dot{\theta} - \frac{K_4}{I_x}\dot{\phi}_2 + \frac{1}{I_x}u_2 \\ \ddot{\theta} = \frac{(I_y - I_z)}{I_y}\dot{\phi}\dot{\psi} - \frac{J_r}{I_y}\bar{\Omega}_R\dot{\phi} - \frac{K_5}{I_y}\dot{\theta}_2 + \frac{1}{I_y}u_3 \\ \ddot{\psi} = \frac{(I_x - I_y)}{I_z}\dot{\theta}\dot{\phi} - \frac{K_6}{I_z}\dot{\psi}_2 + \frac{1}{I_z}u_4 \end{array} \right. \quad (16)$$

در معادله بالا $k_{1,2,3,\dots}$ ضریب درگ است و $\Omega r = \omega_1 - \omega_2 + \omega_3 - \omega_4$ سرعت زاویه ای رتورها است.

که معادله زیر به عنوان بردار حالت در فضا حالت کواد کپتر مورد مطالعه به شرح زیر است:

$$X = (\phi, \dot{\phi}, \theta, \dot{\theta}, \psi, \dot{\psi}, x, \dot{x}, y, \dot{y}, z, \dot{z})^T \in \mathbb{R}^{12}$$

(۱۷)

$$\dot{X} = \mathcal{F}(X, u) = \begin{cases} \dot{X}_1 = X_2 \\ \dot{X}_2 = a_1 X_4 X_6 + a_3 \bar{\Omega}_r X_r X_4 + a_2 X_2^2 + b_1 u_2 \\ \dot{X}_3 = X_4 \\ \dot{X}_4 = a_4 X_2 X_6 + a_6 \bar{\Omega}_r X_r X_2 + a_5 X_4^2 + b_2 u_3 \\ \dot{X}_5 = X_6 \\ \dot{X}_6 = a_7 X_2 X_4 + a_8 X_6^2 + b_3 u_4 \\ \dot{X}_7 = X_8 \\ \dot{X}_8 = a_9 X_8 + \frac{1}{m} (c\phi s \psi s \theta + s\phi c \psi - s\phi s \psi) u_1 \\ \dot{X}_9 = X_{10} \\ \dot{X}_{10} = a_{10} X_8 + \frac{1}{m} (c\phi s \psi s \psi - s\phi c \psi) u_1 \\ \dot{X}_{11} = X_{12} \\ \dot{X}_{12} = a_{11} X_{12} + \frac{c\phi c \theta}{m} u_1 - g \end{cases}$$

که در معادله بالا متغیرها به صورت زیر است:

$$\begin{aligned} a_1 &= \frac{I_y - I_z}{I}; a_2 = -\frac{\mathcal{K}_4}{I_x}; a_3 = -\frac{J_r}{I_x}; a_4 = \frac{(I_z - I_x)}{I_y}; \\ a_8 &= -\frac{\mathcal{K}_5}{I_y}; a_6 = -\frac{J_r}{I_y}; a_7 = \frac{(I_x - I_y)}{I_z}; \\ a_8 &= -\frac{\mathcal{K}_5}{I_z}; a_9 = -\frac{\mathcal{K}_1}{m}; a_{10} = -\frac{\mathcal{K}_2}{m}; \\ a_{11} &= -\frac{\mathcal{K}_3}{m}; b_1 = -\frac{I_4}{I_x}; b_2 = -\frac{I}{I_y}; b_3 = \frac{1}{I_z} \end{aligned}$$

طراحی بهینه کنترلر LQG

مفاهیم اساسی کنترلر LQG

به منظور طراحی یک کنترلر LQG مطلوب از یک مدل خطی استفاده شده که از یک سیستم غیرخطی مشتق شده بدست آمده است. معادله (۱۷). شکل فضا حالت، که در این روش کنترل استفاده می شود به صورت زیر است.

(۱۸)

$$\begin{cases} \dot{X} = AX + Bu + v \\ y = CX + W \end{cases}$$

به ترتیب W و V فرآیند اختلال و ورودی اندازه گیری نویز است، به ترتیب $x(t)$ وضعیت سیستم، $u(t)$ ورودی کنترل را نشان می دهد و $y(t)$ خروجی سیستم است. متغیرهای W و V معمولاً به عنوان فرآیندهای تصادفی گاوسی با ماتریس های ثابت کوواریانس W و V ارائه می شوند. [۱۶]، [۱۷].

(۱۹)

$$E\{vv^T\} = V \geq 0 \text{ and } E\{vv^T\} = W > 0$$

روش کنترل LQG بر اساس حداقل معیار بهینه سازی درجه دوم به صورت زیر است. [۸].

(۲۰)

$$J_{LQG} = \lim_{h \rightarrow \infty} E \left\{ \frac{1}{h} \int_0^h (x^T Q x + u^T R u) dt \right\}$$

در معادله بالا Q و R ماتریس های وزن کنترل خطی (LQ) هستند [۱۸]، [۱۶] در نهایت می توان بلوک فضا حالت را به صورت زیر نوشت:

$$\dot{\hat{x}} = \begin{cases} A\hat{x} + B\bar{u} + L(y - \hat{y}) \\ \hat{y} = C\hat{x} \\ u = -K\hat{x} \end{cases} \quad (21)$$

در فرمول بالا L نشان دهنده میزان محاسبه گر KALMAN است و به شرح زیر تعریف شده است:

(۲۲)

$$L = PC^T W^{-1}$$

P از حل معادله ریکاتی جبری به شرح زیر بدست می آید:

(۲۳)

$$PA^T + AP - PC^T W^{-1} CP + V = 0$$

۲. طراحی کنترل LQG برای کوادکپتر

ماتریس حالت و ورودی از فرم خطی فضای حالت (۱۸) به ترتیب توسط عبارت ژاکوبین زیر داده می شود:

$$A = \begin{bmatrix} \frac{\partial f_{12}}{\partial x_1 | x = x^0} & \frac{\partial f_1}{\partial x_2 | x = x^0} & \dots & \frac{\partial f_1}{\partial x_{12} | x = x^0} \\ \frac{\partial f_2}{\partial x_1 | x = x^0} & \frac{\partial f_2}{\partial x_2 | x = x^0} & \ddots & \vdots \\ \vdots & \vdots & \ddots & \vdots \\ \frac{\partial f_{12}}{\partial x_1 | x = x^0} & \dots & \dots & \frac{\partial f_{12}}{\partial x_{12} | x = x^0} \end{bmatrix} \in \mathbb{R}^{12 \times 12} \quad (24)$$

(۲۵)

$$B = \begin{bmatrix} \frac{\partial f_{12}}{\partial u_1 | u = u^0} & \frac{\partial f_1}{\partial u_2 | u = u^0} & \dots & \frac{\partial f_1}{\partial u_4 | u = u^0} \\ \frac{\partial f_2}{\partial u_1 | u = u^0} & \frac{\partial f_2}{\partial u_2 | u = u^0} & \ddots & \vdots \\ \vdots & \vdots & \ddots & \vdots \\ \frac{\partial f_{12}}{\partial u_1 | u = u^0} & \dots & \dots & \frac{\partial f_{12}}{\partial u_4 | u = u^0} \end{bmatrix} \in \mathbb{R}^{12 \times 4}$$

که در معادله بالا (x^0, u^0) نقطه عملیاتی تعادل سیستم غیرخطی از معادله (۱۵) و معادله (۱۶) است که به صورت زیر ارائه شده:

(۲۶)

$$(x_0, u_0) = \begin{cases} x_1^0 \cdot 2.3.4.5.6.8.10.12. = 0 \\ x_7^0 \cdot 9.11 = Constant \\ u_1^0 = mg \\ u_2^0 \cdot 3.4 = 0 \end{cases}$$

طراحی کنترلر LQG برای مسئله تثبیت ارتفاع و نواختی کوادکپتر در محیط MATLAB / Simulink حل شده است. از طریق یک فرآیند تابع جریمه، ما ماتریس وزن Q و R را به صورت زیر انتخاب می کنیم:

(۲۷)

$$Q = 2 \times 10^{-1} I_{12}$$

(۲۸)

$$R = \begin{bmatrix} 10^{-2} & 0 & 0 & 0 \\ 0 & 10 & 0 & 0 \\ 0 & 0 & 10 & 0 \\ 0 & 0 & 0 & 10 \end{bmatrix}$$

که در فرمول بالا I_{12} یک ماتریس همانی است.

پس از آن، ماتریس کوواریانس نویز تعیین می شود، و در نهایت ماتریس L, K به صورت زیر به دست می آید.

ضرایب ماتریس A

۰	۰	-۰,۸۸۸	-۰,۰۲۸	۰	۰	۰	۰	۰	۰	۱,۱۷۶	۰,۳۲۶
۰	۰	۰,۱۹۸-	۰	۰,۹۹۴	۰,۰۲۵	۰	۰	۰,۸۳	۰,۳۴	۰	۰
۰	۰	۰	۰	۰,۰۱۹	۰	۰	۰	۹۳۲,۷	۱,۰۶۰	۰	۰
۰	۰	۰	۰	۰	۰	۱,۰۲۳	۱,۰۵۸	۰	۰	۰	۰
۰	۰	۰	۰	۰	۰	۳۶۷,۳۸	۱,۰۷۲	۰	۰	۰	۰
۰	۰	۰	۰	۰,۹۸۲۴	۰,۸۹۲۶	۰	۰	۰	۰	۰	۰
۰	۰	۰	۰	۶,۲۳۱۵	۱,۰۶۹۴	۰	۰	۰	۰	۰	۰
۰	۰	۰,۷۷۸	۰,۸۴	۰	۰	۰	۰	۰	۰	۰	-۰,۰۳۰
۰	۰	۶,۴۸	۰,۹۷	۰	۰	۰	۰	۰	۰	-۰,۰۲۳۵	-۱,۱۲۸۵
۰,۸۵۵	۰,۹۶۷	۰	۰	۰	۰	۰	۰	۰	۰	۰	۰
۷,۴۹	۰,۷۲۴	۰	۰	۰	۰	۰	۰	۰	۰	۰	۰

۱,۱۰۴	۱,۱۲۸	۰	۰	۰	۰	۰	۰	۰	۰	۰	۰
۰	۰	-۰,۰۷۹	-۰,۰۵۹۶	۰	۰	۰	۰	۰	۰	۰,۱۰۱۱	۰,۵۶
۰	۰	۰	۰	۰,۰۸۶	۰,۰۶۶۳	۰	۰	۰,۰۸۷۸	۰,۰۵۸۳۰	۰	۰
۰	۰	۰	۰	۰	۰	۰,۰۷۷	۰,۰۵۷	۰	۰	۰	۰

۲-۳ طراحی کنترل کنندهی منطق فازی برای کوادکوپتر

ساختار عمومی یک سیستم کنترل فازی کامل در شکل زیر داده شده است. کنترل کنندهی دستگاه u از 2 متغیر حالت که شامل خطا e و تغییرات در خطا Δe می باشد استنباط شده است. مقدارهای واقعی ورودی به نزدیک ترین مقدار در قلمرو بحث تخمین زده می شوند در نتیجه ورودی های فازی شده به وسیلهی مجموعه های فازی اختصاصی توصیف می شوند.

جزئیات این کنترل کننده ها بر اساس برنامهی فازی است. قانون های کنترلی طراحی می شوند تا مجموعه ای فازی از ورودی های کنترلی u_{fuzzy} را به هر ترکیبی از مجموعه های e و Δe ارجاع دهند.

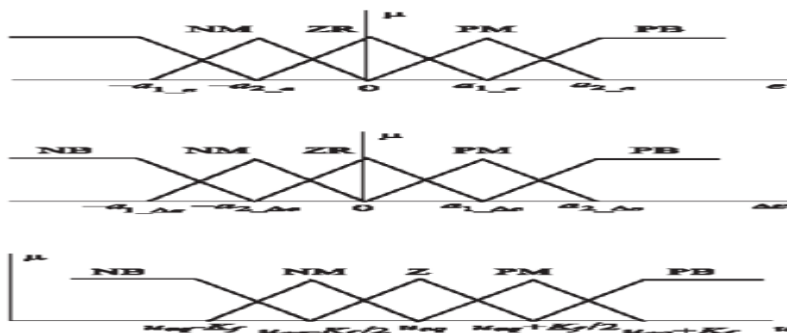
جدول 1 یک نمونه از پایگاه قانون کنترلی ممکن را نشان می دهد. ستون ها نشان دهندهی شیب تغییرات خطا Δe و سطرها نشان دهندهی خطا e می باشند. هر جفت (e, \dot{e}) سطح خروجی NB نسبت به PB را متناظر با u نشان می دهد.

در اینجا NB بزرگ منفی، NM متوسط منفی، ZR صفر، PM متوسط مثبت و PB بزرگ مثبت بر حسب مجموعه های فازی هستند و تابع های عضو متناظر با آن ها در شکل های ۲ نشان داده شده است و در نهایت در شکل ۳ خروجی سه بعدی نرم افزار متلب مشخص شده است. پیوستگی تابع عضو ورودی، روش های استدلالی و روش های عکس فازی برای پیوستگی نگاشت $u_{fuzzy}(e, \dot{e})$ ضروری است. در این مقاله تابع عضو مثنائی، روش استدلالی ماکزیمم-مینیمم و روش عکس فازی مرکز ثقل

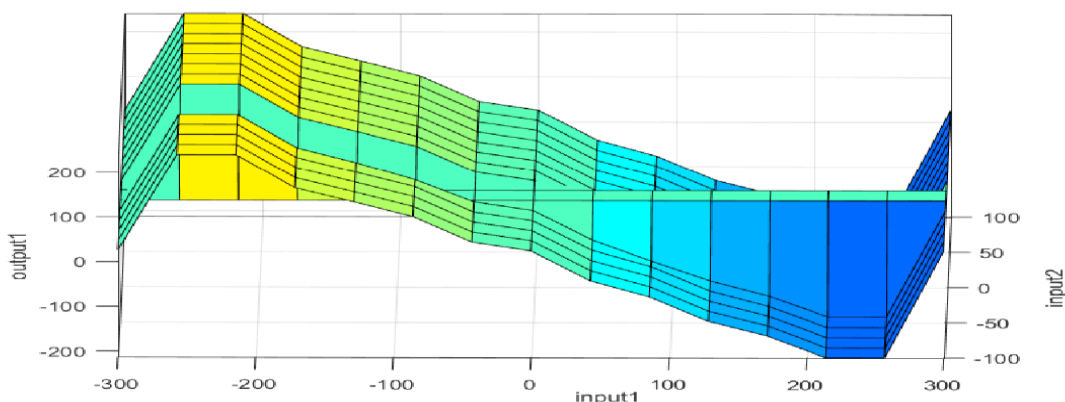
مورد استفاده قرار گرفته است همچنان که مکرراً در بسیاری از تحقیقات دیگر نیز مورد استفاده قرار گرفته است.

جدول (۱) پایگاه قانون برای کنترل

Du	DE _n					
	NB	NM	ZR	PM	PB	
E _n	NB	NB	NB	NM	NM	ZR
	NM	NB	NM	NM	ZR	PM
	ZR	NM	NM	ZR	PM	PM
	PM	NM	ZR	PM	PM	GP
	PB	ZR	PM	PM	GP	GP



شکل ۲- ممبرشیپ فانکشن های استفاده شده

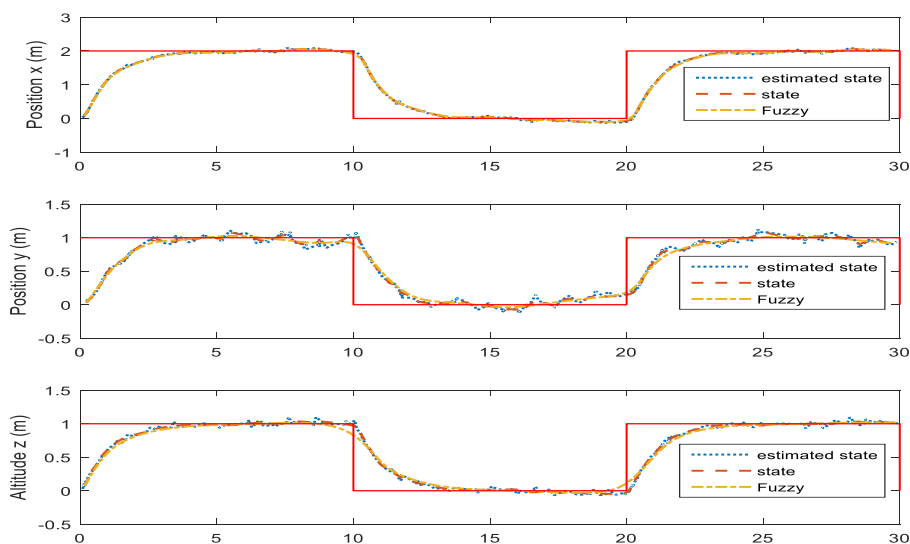


شکل ۳- نتایج سه بعدی رول های ایجاد شده در نرم افزار متلب

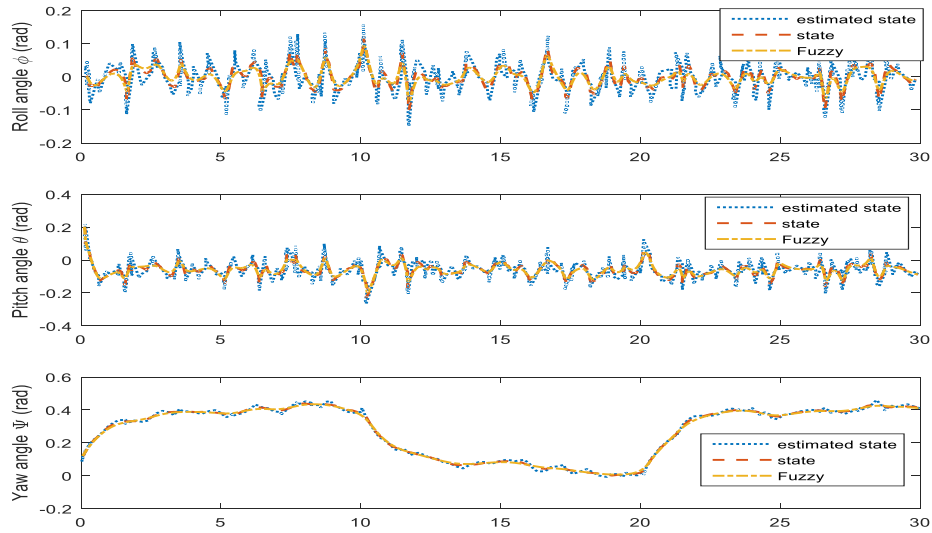
۳- شبیه سازی

نتایج مدل سازی و بحث به منظور تثبیت موقعیت و نگرش Quadrotor مورد ارزیابی قرار میگیرد و برای تعیین خروجی های کنترل شده از مقادیر مورد نظر زیر استفاده می کنیم:

پس از اعمال مقادیر اولیه، نتایج به دست آمده در شکل ۴، شکل ۵ و شکل ۶. برای این منظور، به در نظر داشته باشید که ما برای مقادیری از حالت ها و خروجی ها مقدار $V = 0.01$ و $W = 0.1$ را در نظر گرفته شده است. بطور دقیق مراحل مسیر حرکتی کوادروتور برای گذر از موانع با موقعیت های مختلف طراحی گردیده و پس از شبیه سازی حرکتی کوادروتور با ایجاد موانع مختلف در موقعیت های متفاوت، نتایج آن با توجه به مسیر طراحی شده بیان شده است. میزان موفقیت این طراحی مسیر و کنترلر برای گذر از موانع بر اساس نتایج بدست آمده به این نحو قابل ارائه می باشد که می تواند تعداد موانع با موقعیت و ابعاد مختلف بیشتر در زمان کمتر با کاهش بکارگیری سنسور در عین اینکه طراحی مسیر تابع شکل خاصی نیست را پوشش دهد و با توجه به دلخواه بودن سرعت اولیه، در مسیرهای چند تکه ای نیز قابل استفاده باشد. از طرفی در نظر گرفتن درگ کلی باعث شده است، در هنگام عبور از موانع، کوادروتور ارتفاع نگیرد و این امر کمک شایانی به میزان موفقیت این طراحی داشته است.

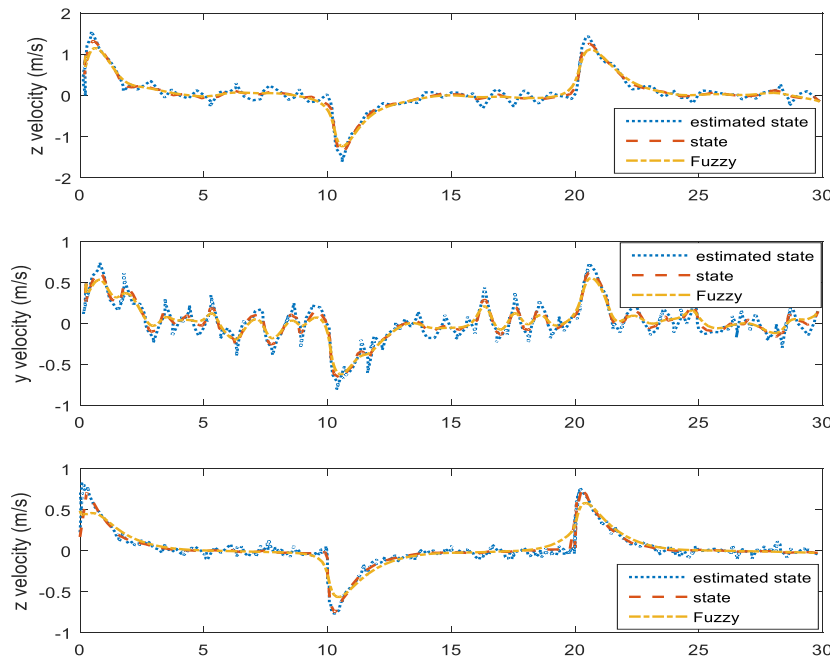


شکل ۴: پاسخ موقعیت موضعی کنترل LQG&Fuzzy



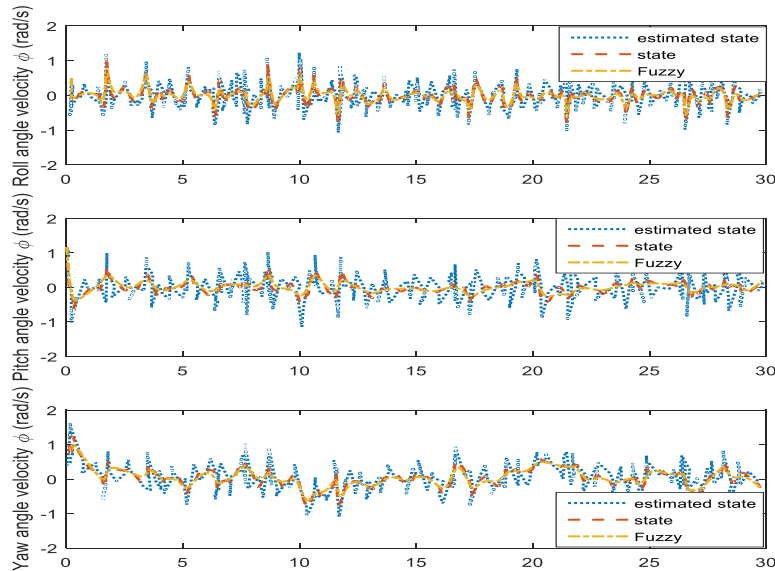
شکل ۵: پاسخ زاویه‌ای مبتنی بر کنترل LQG&Fuzzy Quadrotor

کوادروتور در دسته هواپیماهای بال چرخان قرار می‌گیرد و یک سیستم کم عملگر و ذاتا ناپایدار است، با توجه به شکل ۶ و ۷ میتوان گفت که همچنین مدل دینامیکی سیستم غیرخطی و همراه با عدم قطعیت می‌باشد، پس به منظور پایدارسازی و ردگیری مسیر نیازمند طراحی یک سیستم کنترل مقاوم است. این سیستم باید توانایی حفظ تعادل کوادروتور در حضور اغتشاش باد، نیروهای آیرودینامیکی نامطلوب و خطا در اندازه‌گیری پارامترهای ثابت را داشته باشد. مدل دینامیکی کوادروتور با استفاده از روش نیوتن اویلر استخراج شده است. کنترل کننده پیشنهادی در این مقاله شامل دو حلقه کنترل فازی است.

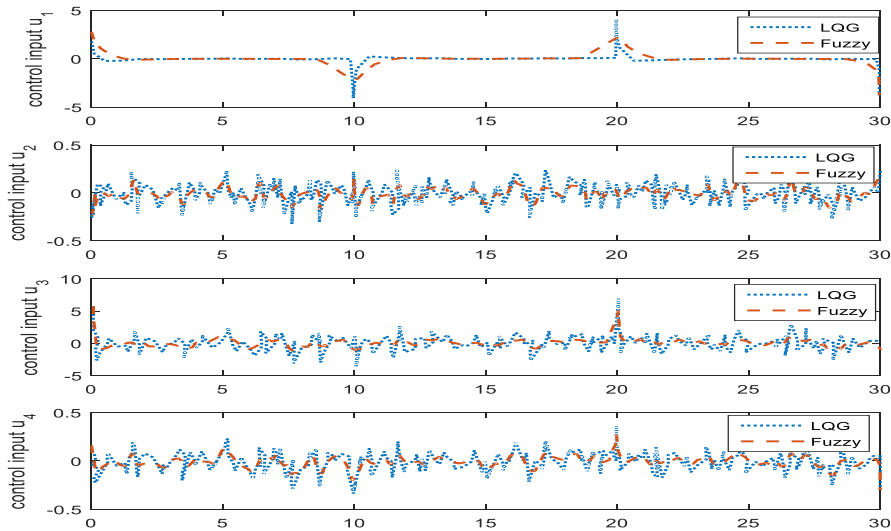


شکل ۶: پاسخ سرعت کنترل Quadrotor بر اساس کنترل LQG&Fuzzy.

حلقه فازی حرکت چرخشی و زوایای اوایلر کوادروتور را کنترل می کند و حلقه خارجی مربوط به کنترل موقعیت و حرکت انتقالی کوادروتور و محاسبه زوایای مطلوب برای ردگیری مسیر مرجع است. در این مقاله با بکارگیری روش سیستم فازی، کنترل کننده ای طراحی شده است که در آن نیاز به معلوم بودن محدوده عدم قطعیت نبوده و حد بالای اندازه آن به صورت یک عدد اسکالر تخمین زده می شود. جهت جلوگیری از واگرایی پارامترها در قوانین تطبیق از روش اصلاحی سیگما استفاده شده است و بعلاوه بمنظور عملکرد مناسب سیستم در بار محموله های متفاوت، جرم کل مجموعه نیز بصورت تطبیقی تخمین زده میشود. طراحی کنترل بر اساس تئوری پایداری لیاپانوف انجام شده و پایداری مقاوم سیستم در حضور اغتشاش نشان داده شده است.



شکل ۵: پاسخ سرعت خطی مبتنی بر کنترل LQG&Fuzzy Quadrotor



شکل ۶: سیگنال های قانون کنترل LQG&Fuzzy به Quadrotor اعمال می شود

از این نتایج شبیه سازی می توان مشاهده کرد که وضعیت سیستم تخمین شده و واقعی برای موقعیت و زاویه های دینامیکی مثل پیچ و یاریت نزدیک و مشابه است. و همان طور که مشخص است و انتظار می رود نتایج فازی از lqg تنها خیلی بهتر است و مشخص است که اگر ضرایب فازی شود می تواند نتایج خوبی داشت.

۴- نتیجه گیری:

در کار حاضر از یک مدل پویا غیرخطی از یک نوع هواپیمای بدون سرنشین **Quadrotor** با استفاده از فرمالیتم نیوتن-اولیر، که به طور گسترده در گذشته مورد استفاده قرار گرفته است، استفاده شده است. تمام نیروها و لحظات اُترو دینامیکی **UAV Quadrotor** مورد مطالعه در یک قاب استوانه ای مورد بررسی قرار گرفته اند. سپس یک مدل دینامیک پایه ای برای طراحی یک کنترل کننده **LQG** به همراه یک سیستم فازی برای تثبیت ارتفاع **rotorcraft** استفاده شده است. طراحی پارامترهای رویکرد کنترل **LQG** با ضرایب فازی پیشنهادی، یعنی ماتریس وزن **R** و **Q** فازی به اثربخشی چندین فرآیند خطا انجام می شود. در نهایت، نتایج شبیه سازی تظاهرات در محیط **MATLAB / Simulink** به دست می آید تا اثربخشی رویکرد تثبیت نسبی پیشنهاد شده را نشان دهد.

اگرچه کنترل کننده های lqg به دلیل سادگی و قابلیت های بالایی که دارند بیشترین توجه را در میان تمامی کنترل کننده های مورد استفاده در صنعت به خود جلب کرده اند؛ اما عدم توانایی این کنترل کننده در تعقیب کامل مسیر یک سیستم غیرخطی، مهمترین مشکل این کنترل کننده ها می باشد.

استفاده از کنترل کننده های حالت lqg فازی به عنوان شناخته شده ترین روش در میان کنترل کننده های غیرخطی، این مزیت را برای یک سیستم دینامیکی ایجاد میکند تا علاوه بر تعقیب کامل مسیر طراحی شده، قابلیت جبران و خنثی سازی عدم قطعیت های موجود در مدل و یا اغتشاشات خارجی را داشته باشد. نتایج به دست آمده چه در بخش شبیه سازی، و چه در بخش آزمایشگاهی، نشان دهنده برتری روش حالت لغزشی در تعقیب کامل مسیر و جبران عدم قطعیت های مدل، نسبت به روش است.

- [1] S. Mukhopadhyay, "PID equivalent of optimal regulator," *Electronics Letters*, vol. 14, no. 25, pp. 821–822, 1978.
- [2] S. Bouabdallah, A. Noth, and R. Siegwart, "PID vs LQ control techniques applied to an indoor micro quadrotor," in *proceedings of IEEE International Conference on Intelligent Robots and Systems IROS*, 2004, pp. 2451–2456.
- [3] A. L. Salih, M. Moghavvemi, H. A. F. Mohamed, and K. S. Gaeid, "Flight PID controller design for a UAV quadrotor," *Scientific Research and Essays*, vol. 5, pp. 3360–3367, 2010.
- [4] T. Madani and A. Benallegue, "Backstepping control for a quadrotor helicopter," *Intelligent Robots and Systems, 2006 IEEE/RSJ International Conference on*, pp. 3255–3260, 2006.
- [5] G. V. Raffo, M. G. Ortega, and F. R. Rubio, "An integral predictive/ nonlinear H infinity control structure for a quadrotor helicopter," *Automatica*, vol. 46, pp. 29–39, 2009.
- [6] M. Jun, S. I. Roumeliotis, and G. S. Sukhatme, "State estimation of an autonomous helicopter using Kalman filtering," in *Intelligent Robots and Systems*, 1999, pp. 1346 – 1353.
- [7] P. P. R. Mahony and P. Corke, "Modelling and control of a quadrotor robot," in *In Proceedings Australasian Conference on Robotics and Automation*, 2006.
- [8] A. Soumelidis, P. Gaspar, G. Regula, and B. Lantos, "Control of an experimental mini quad-rotor UAV," in *proceedings of 16th Mediterranean Conference on Control and Automation*, 2008, pp. 1252–1257.
- [9] J. Escareo and S. Salazar-Cruz, "Embedded control of a four-rotor UAV," in *Proceedings of the 2006 american control conference*, 2006, pp. 3936–3941.
- [10] T. Jirinec, "Stabilization and control of unmanned quadcopter," *Master's thesis, CZECH TECHNICAL UNIVERSITY IN PRAGUE*, 2011.
- [11] K. Ogata, *Modern Control Engineering*. Prentice Hall - Br, 1999.
- [12] R. H. B. Richard C. Dorf, *Modern Control Systems*. Addison-Wesley, 1995.

[13] R. D. H. Charles L. Phillips, Basic Feedback Control Systems, 1990.

[14] J. Kautsky, N. Nichols, and P. V. Dooren, "Robust pole assignment in linear state feedback," International Journal of Control, vol. 41, pp. 1129–1155, 1985.